

国鉄 東京第一工事局
国鉄 東京第一工事局渡部留雄
正員 小倉護

1. まえがき

アースアンカー式土留め工も一般的な構造物と同様に安定条件を満足する必要があるが、アースアンカー式土留め工においては、アンカー体の引抜けに対する安定が満足されただけでは不充分であり、その他に表-1に示す各安定条件を満足しなければならない。

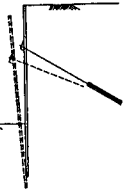
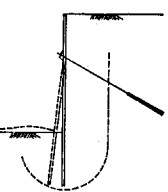
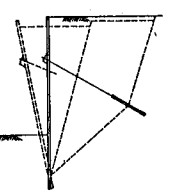
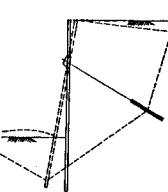
土留め壁背面地盤の安定は、内的安定問題と外的安定

より成っており、この両者を満足する必要がある（その検討方法として図-1に示す方法が提案されている）。

一方、アースアンカー式土留め工におけるアンカーのバネ係数は、切ばり式土留め工における切ばりのバネ係数に比較して非常に小さいので、アースアンカー式土留め工においては掘削前にアンカーを緊張し、背面側地盤に水平方向の圧縮応力を与えることが一般的である。

この圧縮応力がある程度以上導入されると、背面側地盤は内的には安定するので、背面地盤の安定の検討は内的安定を省略し、外的安定のみを検討すれば良いことになる。

表-1 アースアンカー式土留め壁の崩壊のパターン

(a) 土留め壁の沈下による崩壊	(b) 掘さく底面地盤の崩壊	(c) 背面地盤の崩壊（内的安定問題）	(d) 構造系全体の崩壊（外的安定問題）
 <p>崩壊の種類 記号</p> <p>地盤支持力が、アンカー張力の約75%分及びその他の約50%分に対して不足し、土留め壁が沈下する場合で、沈下に伴ないアンカーリングが減少し、土留め壁は掘削面側にせり出している。この種の崩壊に対する安全を確保する必要がある。</p>	 <p>掘削底面地盤の崩壊に伴い土留め壁挿入部が掘削面側へ突出するので、これについてはヒービング、ボーリング及び挿入部の側面の約合いに対して安全を確保する必要がある。</p>	 <p>挿入部の崩壊も、アンカーリングの引き抜けも生ずることなく背面地盤が崩壊するもので、アンカーリングは土被とともに変位する。</p>	 <p>アンカーリング及び土留め壁を含む地盤全体の崩壊である。</p>

2. 外的安定計算法に関する基本的な考え方

外的安定に対する検討方法には図-1に示した方法があるが、ここでは直線すべり面を仮定するBromsの方法によるものとし、図-2に示した背面地盤の土塊の安定に必要な根入れ部の反力側圧 P_R と変側圧 P_B の比を安全率 K とし、次式を満足するようにアンカーの位置を決める。

$$F = \frac{P}{P_{PR}} \geq 1.5 \quad (\text{式 } 1)$$

(\times) F : 安定計算上の安全率
 P : 受動側圧(受動土圧)

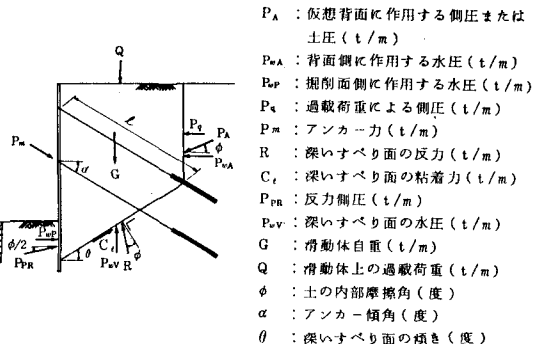
りより、 P 、 P_{PR} は次の安定条件式より求める。

$$\sum H = 0$$

$$\left. \begin{aligned} P_A \cdot \cos\phi + P_{PA} - P_{PR} + P_g - P_m \cdot \cos\alpha \\ = R \cdot \cos(90^\circ - \phi + \theta) + C_t \cdot \cos\theta + P_{PR} \cdot \cos\frac{\theta}{2} \end{aligned} \right\} \quad (\text{式 } 2)$$

$$\sum V = 0$$

$$\left. \begin{aligned} P_A \cdot \sin\phi - P_{PA} + G + Q + P_m \cdot \sin\alpha \\ = R \cdot \sin(90^\circ - \phi + \theta) + C_t \cdot \sin\theta + P_{PR} \cdot \sin\frac{\theta}{2} \end{aligned} \right\}$$



安全率 F は、すべり面位置により変わるので、すべり面位置を変化させて最小安全率を求め、これが式-1を満足する必要がある(図-3)。

3. 砂質地盤における最小安全率計算式

(1) 粘性土

アンカ一体より上の滑動体に作用する全水平力の合力 $H_0(t)$ 、全鉛直力の合力を $V_0(t)$ とすると

$$H_0 = P_A \cdot \cos\phi + P_g + P_{PA1} - P_m \cdot \cos\alpha$$

$$V_0 = Q + G_1 + P_A \cdot \sin\phi + P_m \cdot \sin\alpha$$

安全率 F は

$$F = \frac{P}{P_{PR}} = \frac{\frac{1}{2}4C + \gamma c(b \cdot \tan\theta + h - D)}{H_0 + V_0 \cdot \tan\theta + \frac{1}{2}V_0^2 \cdot b^2 \cdot \tan^2\theta - b \cdot C \frac{1}{\cos\phi}}$$

となる。ここで $\partial F / \partial \theta = 0$ とすると最小安全率を与えるθに関する方程式が求まり、これを解けばよいことになる。しかし、この式は複雑な形となるので次の手順で計算するとよい。

① l 、 α を仮定する。② b 、 h を計算する。

③ H_0 、 V_0 を計算する。 $H_0 = P_A \cdot \cos\phi + P_g + P_{PA1} - P_m \cdot \cos\alpha$ $V_0 = Q + G_1 + P_A \cdot \sin\phi + P_m \cdot \sin\alpha$

④ 最小安全率を与えるθを計算する。 $A_1 \cdot \sin 2\theta + A_2 \cdot \cos 2\theta + A_3 = 0$ A_1, A_2, A_3 は係数で次のように表される。

$$A_1 = H_0 - \left\{ 2C + \frac{1}{2} \gamma c(h - D) \right\} (h - D) + b \cdot C \left\{ \frac{4C(h - D)}{b^2} + \frac{(h - D)^2}{b^2} - 1 \right\}$$

$$A_2 = (H_0 + \frac{1}{2} \gamma c b^2 - 2b \cdot C) \left\{ \frac{2C}{b^2} + \frac{h - D}{b} - \frac{1}{2} V_0 \right\} \left\{ \frac{4C(h - D)}{b^2} + \frac{(h - D)^2}{b^2} + 1 \right\}$$

$$A_3 = (H_0 - \frac{1}{2} \gamma c b^2) \left\{ \frac{2C}{b^2} + \frac{h - D}{b} \right\} - \frac{1}{2} V_0 \left\{ \frac{4C(h - D)}{b^2} + \frac{(h - D)^2}{b^2} - 1 \right\}$$

⑤ l_t を計算する。 $l_t = b \cdot \tan\theta + h - D$ ただし、 $l_t < l_c$ の場合 $l_t = l_c$ $\theta = \tan^{-1}(\frac{l_c - h + D}{b})$ に置き換る。

⑥ P_{PR} 、 P_g を計算する。 $P_{PR} = H_0 + V_0 \cdot \tan\theta + \frac{1}{2} V_0^2 \cdot b^2 \cdot \tan^2\theta - b \cdot C \frac{1}{\cos\phi}$ $P_g = \frac{1}{2} (4C + \gamma c \cdot l_t) l_t$

⑦ 最小安全率(F)_{min}を求める。 $(F)_{min} = P_g / P_{PA}$

(2) 砂質土

砂質工の場合も、上記と同様にして(F)_{min}を求める計算式が得られるが、紙面の都合で省略する。

4. あとがき

アスアンカー式土留め工における背面地盤の安定計算の検討法について述べたが、アスアンカー式土留め工における背面地盤の安定問題は重要な課題であるが、今後は実験等を含め、合理的な計算手法として確立して行きたいと思う。

図-3 F と l_t の関係

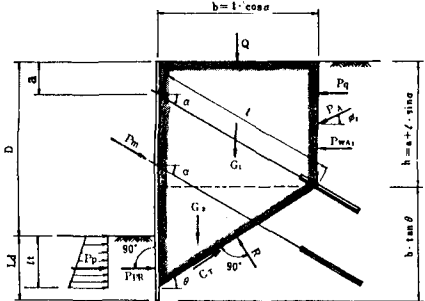


図-4 粘性土の安定計算

